

4A3) 서울시의 PM_{2.5} 및 화학적 구성성분의 특성 파악

Characterization of the Major Chemical Species in PM_{2.5} in Seoul

김현선 · 허종배 · 서용석 · 김승희 · 양은경 · 이승록

서울대학교 보건대학원 환경보건학과

1. 서 론

PM_{2.5}는 시정장애, 산성비 및 건식침적으로 인한 호수와 토양의 산성화를 초래하는 등의 환경적인 영향을 미친다. 또한 인체에 유해한 방향족탄화수소와 같은 유해화학물질이나 중금속이 함유되어있고 호흡기 계통의 유병률과 사망률과도 관계가 있으며, 실내 대기질의 60% 이상 영향을 주는 등의 보건학적인 영향도 있다. 이에 따라 전 세계적으로 미세먼지를 저감하기 위한 다각적인 노력을 기울이고 있는데 특히, 미국 EPA에서는 1997년 PM_{2.5} 기준(24시간 평균 65 $\mu\text{g}/\text{m}^3$, 연평균 15 $\mu\text{g}/\text{m}^3$)을 신설, PM₁₀과 함께 사용하고 있으며, 화학적 조성에 대한 정량적인 평가와 발생원 규명을 통한 규제를 마련하고 있다. 하지만 우리나라에는 PM_{2.5}의 지속적인 모니터링과 분석이 부족하여 PM_{2.5}의 물리화학적 특성 파악과 오염원 기여도 산정자료가 부족한 실정이다. 이로 인해 PM_{2.5} 및 구성성분과 인체영향에 대한 연구는 더욱더 미흡한 상태이다.

따라서 본 연구에서는 미세먼지의 정성/정량적 분석결과를 통한 미세먼지의 농도 및 물리·화학적 특성을 파악하고, 실시간 PM_{2.5} 농도와 미기상과 관계를 살펴보고자 한다. 또한 receptor model을 통해 오염원 위치와 오염도에 대한 배출원의 기여도를 살펴본 후, 서울시 미세먼지의 오염원 분포 특성을 파악하고자 한다.

2. 연구 방법

2003년 3월부터 2005년 2월까지 서울시 종로구 연건동 서울대학교 보건대학원 옥상(지상 17 m)에서 URG사의 Annular Denuder System (ADS) 및 filter pack을 이용한 4 channel system을 이용하여 대기 중 미세먼지(PM_{2.5})에 포함된 이온 성분, 미량 원소 및 탄소 성분을 측정하였다. 이온성분은 Ion Chromatography (Dionex DX-120)로 분석하였고, 미량원소는 Proton Induced X-ray Emission (PIXE), 탄소성분은 Thermal/optical Transmittance (TOT) 방법을 통해 분석이 이뤄졌다.

2004년 9월부터는 R&P사의 Tapered Element Oscillating Microbalance Filter Dynamics Measurement System (TEOM FDMS)를 통해 실시간 PM_{2.5} 측정이 이뤄졌으며, 이 기기는 휘발성 성분이 보정되어 보다 정확한 PM_{2.5}의 농도 측정이 가능하다는 장점을 가지고 있다.

이렇게 분석된 결과들은 Potential Source Contribution Function (PSCF)과 Residence Time Weighted Concentration (RTWC)과 같은 역쾌도 분석이 조합된 receptor모델을 적용하여 오염원의 위치와 분포 특성을 파악하였다. 이 모델에 필요한 대기의 역쾌도는 Hybrid single-Particle Lagrangian Integrated Trajectory (HYSPPLIT) 4 Model을 사용하였다.

3. 결과 및 고찰

2003년 3월부터 2005년 2월까지 2년간 총 195개의 시료가 채취되었으며 분석된 미세먼지의 결과 PM_{2.5}의 평균 농도가 $42.75 \pm 23.25 \mu\text{g}/\text{m}^3$ 이었고 입자상 이온들의 평균 농도는 SO₄²⁻ ($7.54 \pm 6.32 \mu\text{g}/\text{m}^3$), NO₃⁻ ($7.08 \pm 6.19 \mu\text{g}/\text{m}^3$), NH₄⁺ ($5.49 \pm 4.14 \mu\text{g}/\text{m}^3$)였으며, 탄소성분의 평균 농도는 OC ($10.16 \pm 5.41 \mu\text{g}/\text{m}^3$)와 EC ($4.14 \pm 2.55 \mu\text{g}/\text{m}^3$)이었다. 2003년의 PM_{2.5} 평균은 $42.63 \pm 23.52 \mu\text{g}/\text{m}^3$, 2004년은 $42.85 \pm 16.94 \mu\text{g}/\text{m}^3$ 로 2년 모두 미국 EPA 연평균 기준치 $15 \mu\text{g}/\text{m}^3$ 보다 높았고, 전체 샘플 기간 중 EPA의 24시간 평균 기준치 $65 \mu\text{g}/\text{m}^3$ 을 초과한 날은 전체 샘플기간 중 총 27일이 있었다. 그럼 1은 연도별 구성성분의

특성을 나타낸 것으로 2003년의 총 샘플 86개 중 스모그가 짙은 날(smog event)이 13일, 황사가 2일 있었으며, 2004년의 경우 총 샘플 109개, 스모그 14일, 황사가 8일이 있었다. 2003년과 2004년 모두 스모그일 때가 non smog event(총 샘플 중 스모그와 황사를 뺀 날)와 황사인 때보다 PM_{2.5} 농도 및 수용성 이온성 물질들의 농도가 상대적으로 높았을 뿐 아니라 OC와 EC의 농도도 크게 차이가 났다. 전체 샘플 기간 중 PM_{2.5}의 농도가 겨울>봄>가을>여름의 순으로 겨울철의 농도가 높게 나타나는 것과는 달리 스모그일 때 PM_{2.5} 농도 및 수용성 이온성 물질의 변화를 계절별로 살펴보면 2003년, 2004년 모두 여름철 농도가 높은 경향을 보였다. 이것은 태양광이 강한 여름철에 sulfate, nitrate와 같은 secondary aerosol이 photochemical reaction에 의해 생성되어 스모그일 때의 PM_{2.5} 농도에 큰 영향을 미치는 것으로 생각되며 secondary aerosol의 경우 대기 중 life time이 비교적 길어서 장거리 이동이 가능하므로 서울시내의 국소적인 오염원뿐만 아니라 일본이나 중국 등 지역적 영향을 생각해 볼 필요가 있다. smog event 전 후의 back trajectory를 분석해 보면 그림 2와 같이 수용원 지점에 도착한 공기 패도들은 스모그가 있기 하루 전날의 공기 패도보다 더 많은 중국의 주요산업지역을 통과하고, 이 지역을 통과할 때의 공기 흐름의 속도도 비교적 느렸다. 또한 전체 샘플 기간 중 실시간 측정된 PM_{2.5}의 PSCF 모델 결과 smog event 때와 마찬가지로 중국의 주요산업지역을 주요 오염원으로 나타내고 있다(그림 3).

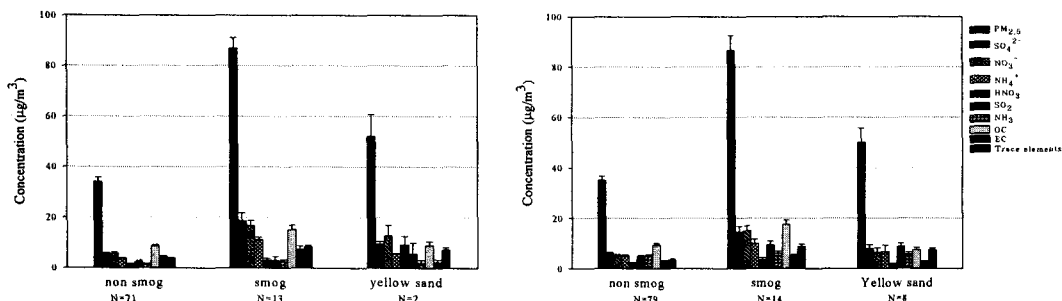


Fig. 1. Comparison of PM_{2.5} component in 2003(left) and 2004 (right)

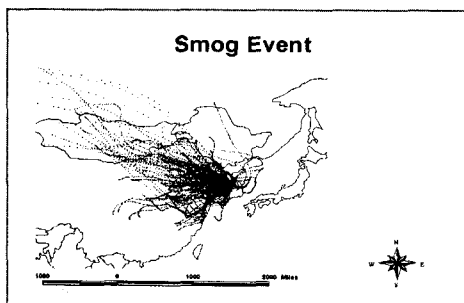


Fig. 2. Trajectory analysis for smog event

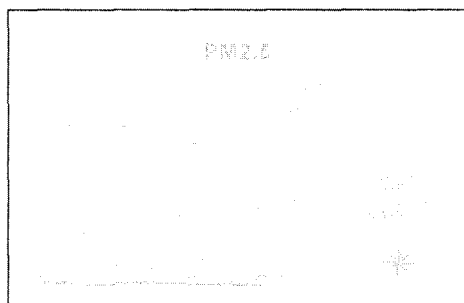


Fig. 3. PSCF result for PM_{2.5}

사사

본 연구는 한국 환경기술진흥원의 '차세대 핵심 환경기술개발사업 (과제번호: 2004-09001-0020-0, 과제번호: 2004-09001-0032-0)'으로 지원된 연구이며, 이에 감사드립니다.

참 고 문 헌

U.S. EPA, (1999) Compendium Method IO-4.2

Wang, Y., Zhuang, G., Tang, A., Yuan, H., Sun, Y., Chen, S., Zheng, A., 2005. The ion chemistry and the source of PM_{2.5} aerosol in Beijing. Atmospheric Environment 39, 3771-3784

Seinfeld, J. H., 1986. Atmospheric chemistry and physics of air pollution, Willey/Interscience, New York.